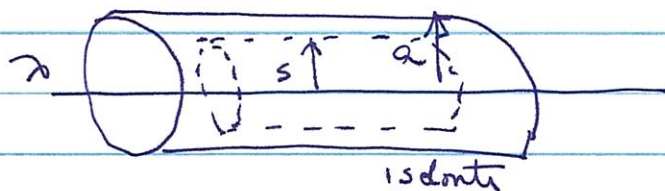


Exerc. 4.14]

Note que este prob. é muito simétrico e é aplicável Gauss



$$\vec{D} = ?$$

$$\vec{D}(2\pi s L) = \frac{\sigma L}{q_{\text{fixa}}} \Rightarrow \boxed{\vec{D} = \frac{\sigma}{2\pi s} \hat{s}} \quad s < a$$

Como  $\vec{P} = 0$  fora do isolante.

$$\vec{E} = \frac{1}{\epsilon_0} \vec{D}$$

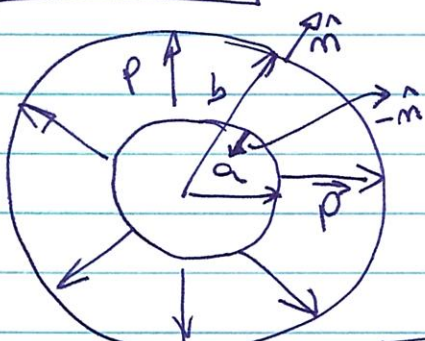
lembrando  $\vec{D} \equiv \epsilon_0 \vec{E} + \vec{P}$

$$\therefore \boxed{\vec{E} = \frac{\sigma}{2\pi \epsilon_0 s} \hat{s}} \quad \text{p/ } s > a$$

Note que não podemos calcular  $\vec{E}$  no dieletônico se não sabemos como é  $\vec{P}$ .

Exerc. 4.15]

Simetria esf. IDEM Gauss



2) Encontrar  $P_b$  e  $\delta_F$ .

$$\boxed{F_F = -\nabla \cdot \vec{P} = -\frac{1}{r^2} \frac{\partial}{\partial r} \left( r^2 \frac{K}{r} \right) = -\frac{K}{r^2}}$$

$$\boxed{P_b = \vec{P} \cdot \hat{n} = \begin{cases} +P \hat{n} = \frac{K}{b} & \text{p/ } r=b \\ -P \hat{n} = -\frac{K}{r} & \text{p/ } r=a \end{cases}}$$

$$\boxed{-P \hat{n} = -\frac{K}{r} \quad \text{p/ } r=a}$$

Aplicando Gauss :  $\oint \vec{E} \cdot d\vec{a} = \frac{Q_p + Q_{free}}{\epsilon_0}$

g)  $r < a$

$\nabla \cdot \vec{E} = 0 \therefore \boxed{\vec{E} = 0}$  e  $\boxed{\vec{D} = 0}$

p)  $r > b$   $Q_{Enc} = 0$

(nenhuma

$$Q = \int_{S_a} \vec{P}_a \cdot d\vec{a} + \int_{S_b} \vec{P}_b \cdot d\vec{a}$$

g)  $a < r < b$

$\therefore \vec{E} = 0$

$\boxed{\vec{D} = 0}$

$= 0$

$$Q = \frac{4\pi K b^2}{b} - \frac{4\pi K a^2}{a} + -K \int_a^b \frac{r^2}{r^2} dr = 0$$

$Q_p = \int_{S(a)} \left( \frac{-K}{r^2} \right) \cdot d\vec{a} + \int_V \left( \frac{-K}{r^2} \right) \cdot \vec{dV}$

$$Q_p = \int_{S(a)} \vec{B} \cdot d\vec{a} + \int_V -\nabla \cdot \vec{P} \cdot dV$$

$$Q_p = -\frac{K}{a} \int d\vec{a} + \int \frac{-K}{r^2} r^2 \sin\theta dr d\theta d\phi$$

$$Q_p = \left( \frac{-K}{a} \right) 4\pi a^2 + 4\pi \int_a^r \frac{-K}{r^2} dr$$

$$\boxed{Q_p = 4\pi K (-a - r + a) = -4\pi K r}$$

$\therefore \vec{E} = -\frac{4\pi K r}{4\pi r^2 \epsilon_0} \hat{r} \quad \therefore \boxed{\vec{E} = -\frac{K}{\epsilon_0 r} \hat{r}}$

b) Encontrar  $\vec{D}$

$$\oint \vec{D} \cdot d\vec{\ell} = Q_{\text{fme}} = 0 \quad \therefore \boxed{\vec{D} = 0} \quad \text{Todo punto!}$$

$$\text{Mas } \vec{D} = \epsilon_0 \vec{E} + \vec{P} = 0 \Rightarrow \boxed{\vec{E} = -\frac{\vec{P}}{\epsilon_0}}$$

$$\therefore \vec{E} = 0 \quad \forall r < a \quad \text{e} \quad r > b ; \quad \boxed{\vec{E} = -\frac{k}{\epsilon_0 r} \hat{r} \quad \forall a < r < b}$$

4.3.2

Diferenças entre  $\vec{D}$  e  $\vec{E}$

$$\text{Note} \quad \nabla \cdot \vec{D} = f_f \quad \text{e} \quad \nabla \cdot \vec{E} = \frac{f}{\epsilon_0}$$

Mas!

$$\vec{D}(\vec{r}) \neq \frac{1}{4\pi} \int \frac{\vec{1}_0}{r'^2} f_f(\vec{r}') dV'$$

Portanto, now podemos apenas usar a div:  $\forall /$   
calcular  $\vec{D}$ ; mas

$$\vec{\nabla} \times \vec{D} = \vec{\nabla} \times (\epsilon_0 \vec{E} + \vec{P}) = \epsilon_0 \vec{\nabla} \times \vec{E} + \vec{\nabla} \times \vec{P}$$

Como  $\vec{\nabla} \times \vec{E} = 0$  entao

$$\boxed{\vec{\nabla} \times \vec{D} = \vec{\nabla} \times \vec{P}}$$

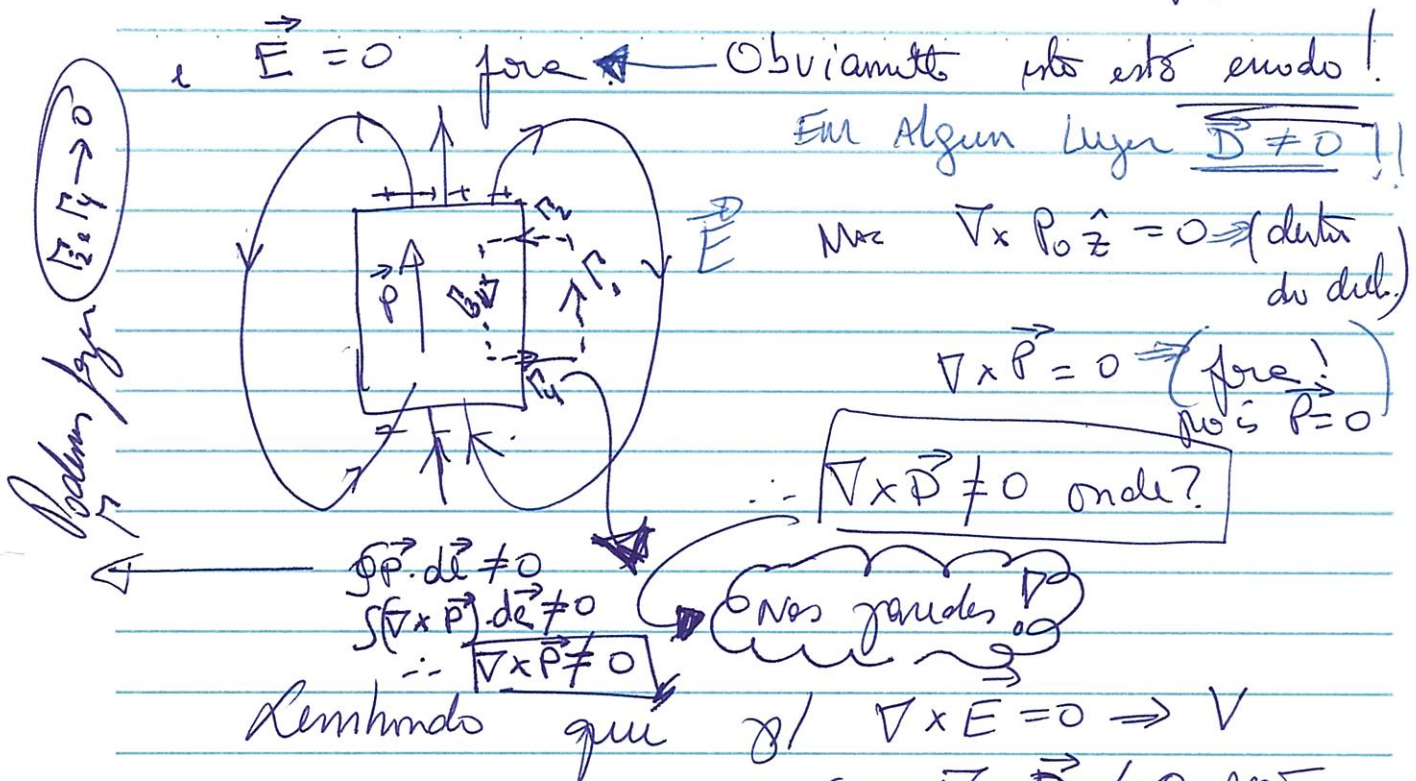
$\rightarrow \vec{\nabla} \times \vec{P} \neq 0$  (now  
masse  
(se zero!))

Voltarmos ao exercício 4.11

Em Exem. 4.4  
e Prob. 4.15  
OK!  $\vec{\nabla} \times \vec{P} = 0$

Como  $f_{\text{fme}} = 0 \Rightarrow \oint \vec{D} \cdot d\vec{\ell} = 0 \Rightarrow D = 0$

$$-\left( \vec{E} = \left( -\frac{1}{\epsilon_0} \right) \vec{P} \right) \xrightarrow{\text{Todo ponto!}} \text{então.}$$



### 4.3.3 Condições de Fronteira

Da mesma forma que em  $\vec{E}$  temos agora

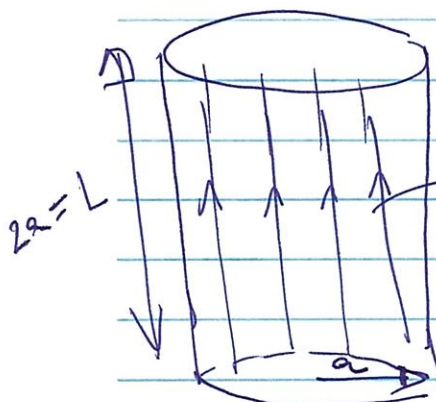
$$\boxed{D_{\text{Acima}}^+ - D_{\text{Abaxio}}^+ = \sigma_f} \quad (\text{descontinuidade do campo perpendicular})$$

A partir de  $\oint \vec{D} \cdot d\vec{l} = Q_f$ .

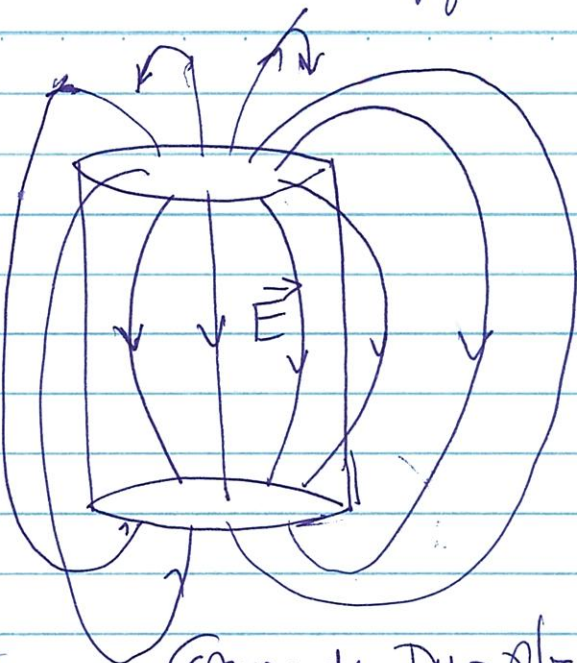
Usando  $\nabla \times \vec{D} = \nabla \times \vec{P}$  temos:

$$\boxed{D_{\text{Acima}}^{||} - D_{\text{Abaxio}}^{||} = P_{\text{Acima}}^{||} - P_{\text{Abaxio}}^{||}}$$

Exbl 4.17



$$\vec{P} = P_0 \hat{z}$$

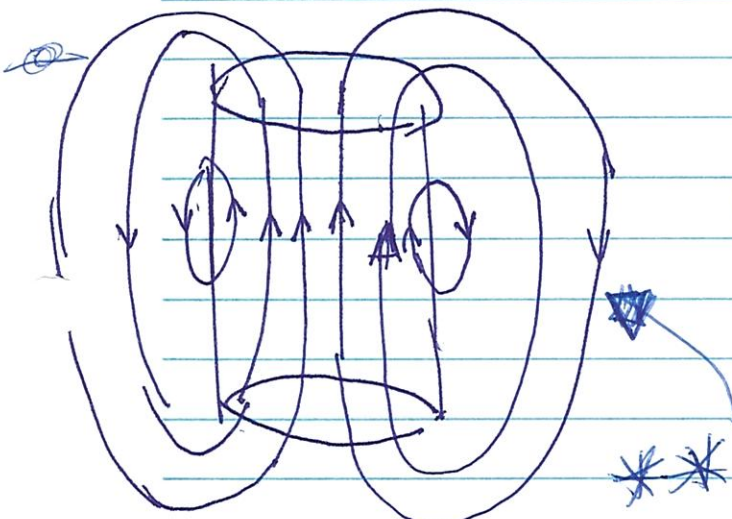
\* Note  $E$ 

Começam e terminam em



Campo de Densidade Plana!! Nota os Efeitos do fundo pois  
 $L = 2\pi$

$$\vec{D} = \epsilon_0 \vec{E} + \vec{P}$$



$$\text{Como } \nabla \cdot \vec{D} = P_{\text{Free}} = 0$$

as linhas de  $\vec{D}$  são continuas

\* \* Note linhas de  $\vec{D}$  começam e terminam em cargas livres que não tem portanto saidas continuas.

### Dieletrios LINEARES

Vimos que podemos caracterizar  $\vec{P} = \alpha \vec{E}$  onde  $\alpha$  não necessita ser uma constante.

No entanto é razoável pensar que  $\vec{P} = \vec{P}(\vec{E})$  e aí que a polarização depende de  $\vec{E}$ .

Vamos dizer que o caso em que  $E \rightarrow 0$   $\vec{P} \rightarrow 0$ .  
Ou seja, nesse caso onde existe uma polarização permanente oposta ao campo sobre o material. Este é o caso da Ferroelétricidade (Ex. 03) (Ex. 02)

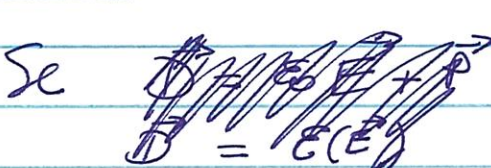
Normalmente temos  $\vec{P} = \chi(\vec{E}) \vec{E}$  ou  $\vec{P} = \chi_0 \epsilon \vec{E}$

onde  $\chi(\vec{E})$  é a susceptibilidade elétrica do material.

Quando muitos materiais são elétricamente isotrópicos (fluidos, sólidos policristalinos e amorfos e alguns cristais).

Não obtemos g/ o caso anisotrópico onde  $P$  e  $\chi$  dependem da direção.

P/ isotrópicos       $\vec{D} = \epsilon(\vec{E}) \vec{E}$       Onde  
permisividade       $\vec{D} = \epsilon \vec{E} + \vec{P} = \epsilon \vec{E} + \chi(\vec{E}) \vec{E}$   
elettrica       $\epsilon(\vec{E}) = \epsilon_0 + \chi(\vec{E})$   
material       $\hookrightarrow$  todos com mesma  
dimensão (unidades)

Se   
 $\vec{D} = \epsilon(\vec{E})$

Se  $\chi(\vec{E}) = \text{cte} = \chi$  então (máxima das matérias)  
 $\boxed{\vec{P} = \chi \vec{E}}$  e  $\boxed{\vec{D} = \epsilon \vec{E}}$

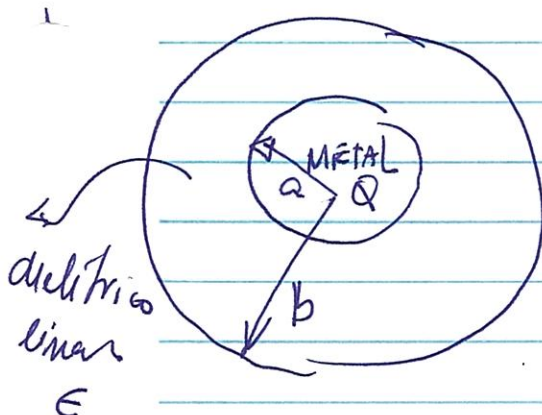
$$\therefore \epsilon = K \epsilon_0 \quad \therefore K = \frac{\epsilon}{\epsilon_0} = 1 + \frac{\chi}{\epsilon_0}$$

K é a permissividade molar ou constante dielettrica

MATERIAL	K
Vácuo	1.00000 exato
Ar seco	1.00052
Vapor d'água	1.00587
Agua (0°C)	80.8
H <sub>2</sub> O (20°C)	80.1
KTaNbO <sub>3</sub>	34000

sucessivamente zero vez  
vácuo não tem modo!  
(Nem éter!!!)

### Exemplo 4.5 ||



Qual o potencial no centro do sfero?

Precisamos calcular  $V = - \int_{\infty}^0 \vec{E} \cdot d\vec{l}$

No entanto, não conhecemos  $\vec{P}, \vec{q}$   
nem que  $\vec{E}$  tenham conhecimento  
Lembra-se que  $\vec{P} = \epsilon \vec{E}$ .

No entanto podemos  $\vec{Q}_{free}$  ignorar e calcular  $\vec{D}$

$\forall / \underline{r < a}$  Metal:

$$\vec{E} = 0; \quad \vec{P} = 0 \quad \text{e} \quad \vec{D} = 0 \quad \text{junto} \quad \oint \vec{D} \cdot d\vec{\ell} = Q_{\text{free}}$$

(Gauss).

$\forall / \underline{r > a}$

$$\vec{D} = \frac{Q}{4\pi r^2} \hat{r} \quad \text{em todo o espaço usando} \quad \oint \vec{D} \cdot d\vec{\ell} = Q$$

note! Se estivermos considerando  $\vec{D}$  / calcular  $\vec{D}$  as cargas livres, Não importa as cargas polarizados!

Podemos agora usar  $\vec{D} = \epsilon \vec{E}$  / calcular como é  $\vec{E}$  ...

$$\vec{E} = \begin{cases} \frac{Q}{4\pi\epsilon_0} \frac{\hat{r}}{r^2} & \text{p/ } r < a \\ \frac{Q}{4\pi\epsilon_0} \frac{\hat{r}}{r^2} & \text{p/ } r > b \end{cases}$$

$$\therefore V = - \int_{-\infty}^0 \vec{E} \cdot d\vec{\ell} = - \int_{\infty}^b \left( \frac{Q}{4\pi\epsilon_0 r^2} \right) dr - \int_b^a \left( \frac{Q}{4\pi\epsilon_0 r^2} \right) dr$$

$$- \int_a^0 dr = \underbrace{\frac{Q}{4\pi} \left( \frac{1}{\epsilon_b} + \frac{1}{\epsilon_a} - \frac{1}{\epsilon_b} \right)}_{\rightarrow}$$

Não foi necessário calcular  $\vec{P}$  para obter  $E$  nenhuma. Mas como agora conhecemos  $\vec{E}$ ,

$$\vec{P} = \chi \vec{E} \Rightarrow \vec{P} = \frac{Q \chi \hat{r}}{4\pi \epsilon_0 r^2}$$

Escrevendo

$$\chi = \chi_e \epsilon_0$$



susceptibilidade do material  
em termos de  $\epsilon_0$ .

$$\epsilon = \epsilon_0 (1 + \chi_e)$$

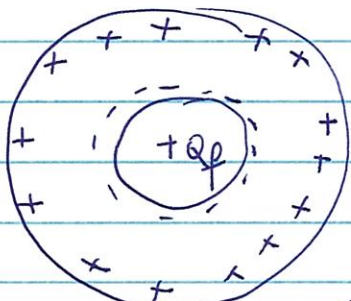
Então:

$$\vec{P} = \frac{Q\epsilon_0 \chi_e}{4\pi\epsilon_0 (1 + \chi_e)} \frac{\hat{n}}{r^2}$$

$$f_b = -\nabla \cdot \vec{P} = 0 \quad (\text{lembrar } \nabla \cdot \frac{\hat{n}}{r^2} = 0 !)$$

$$\mathbf{D}_b = \vec{P} \cdot \hat{n} = \begin{cases} \frac{Q\chi_e}{(1 + \chi_e) 4\pi b^2} & (\text{Superfície externa}), \\ -\frac{Q\chi_e}{(1 + \chi_e)} \frac{1}{4\pi a^2} & (\text{Superfície interna!}) \end{cases}$$

$$\left. \begin{cases} \frac{Q\chi_e}{(1 + \chi_e) 4\pi b^2} & (\text{Superfície externa}), \\ -\frac{Q\chi_e}{(1 + \chi_e)} \frac{1}{4\pi a^2} & (\text{Superfície interna!}) \end{cases} \right.$$



Note que as cargas  $-D_b$  estão tentando diminuir ao máximo o  $E$

(Depende de  $\chi_e$ ) ou quantas cargas podem ser polarizadas.

Para "cancelar" o campo no dielétrico

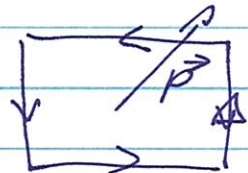
Ou seja o dielétrico é um mau condutor!

Substituindo A casca isolante por um condutor "isolado", a polarização seria máxima e tanto  $E$  quanto da corrente seria zero! (Ou seja, obviamente iguais!).

Portanto, vemos que o efeito do dieletônico é reduzir o campo.

Tendo um espaço entre paralelos encherido por um dieletônico homogêneo e linear:

$$\nabla \cdot \vec{D} = \rho_f \quad \nabla \times \vec{D} = 0$$



$$\oint \vec{P} \cdot d\vec{l} \Rightarrow \nabla \times \vec{P} = 0$$

$$\therefore \nabla \times \vec{P} = 0 \Rightarrow$$

Portanto é como se não hivéssemos, nenhum polarização. Neste espaço e o campo é reduzido por um certo valor ~~constante~~ do campo onde não existe dieletônico!

Sabem que?

$$\vec{D} = \epsilon_0 \vec{E}_{vac} \quad \text{onde } \vec{E}_{vac} \text{ é produzido por } Q_f \text{ sem dieletônico no meio.}$$

$$\therefore \text{Se } \vec{D} = \epsilon \vec{E} \quad \therefore \vec{D} = \epsilon_0 \vec{E}_{vac}$$

$$\therefore \cancel{\text{Fazendo}} \quad \vec{E}_{die} = \frac{\vec{D}}{\epsilon} = \frac{\epsilon_0}{\epsilon} \vec{E}_{vac}$$

$$\text{Mas } K = \frac{\epsilon}{\epsilon_0} \quad \therefore \boxed{\vec{E}_{die} = \frac{1}{K} \vec{E}_{vac}}$$

O campo foi reduzido por um fator  $K$  do caso do vácuo!

Exatamente o que ocorre com um capacitor quando substituimos o vazio por um dielétrico? A capacidade aumenta pelo valor  $\frac{1}{k}$ !

$$\text{C} = \frac{Q}{V} \quad \text{vazio!}$$

se  $\vec{E}_{\text{diel}} = \frac{\vec{E}_{\text{vac}}}{k}$ .

$$-V = \Delta V = \frac{1}{k} V_{\text{vacuo}}$$

$$C_{\text{diel}} = \frac{Q}{\frac{1}{k} V_{\text{vacuo}}} = k C_{\text{vacuo}}$$

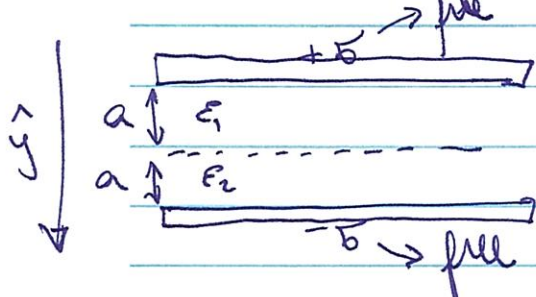
ou de fato  $Q_{\text{diel}} = k Q_{\text{vacuo}}$

Poderemos armazenar mais carga no capacitor com dielétrico. ou seja, mais energia!

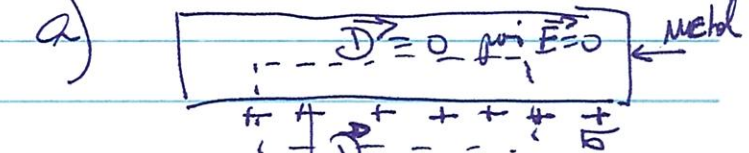
$$W = \frac{1}{2} C V^2$$

### Exemplo Ex. 4.18

$$\vec{D} = 0 \text{ p/ } \vec{E} = 0$$



a)



$$\int \vec{D} \cdot d\vec{a} = Q_{\text{free}}$$

$$\therefore D_A = bA$$

$$\therefore \boxed{\vec{D} = b \hat{y}}$$

F' obvio que dada o mesmo resultado considerando a placas metálicas da base

b) O campo elétrico em cada equilíbrio

$$\vec{D} = \epsilon_0 \vec{E} \quad \therefore \quad \vec{E} = \frac{\vec{D}}{\epsilon_0} \quad \therefore \quad \left\{ \begin{array}{l} \vec{E}_1 = \frac{5}{\epsilon_1} \hat{j} \\ \vec{E}_2 = \frac{5}{\epsilon_2} \hat{j} \end{array} \right.$$

Note a similaridade do  
caso onde temos vácuo  $E_{vac} = \frac{5}{\epsilon_0}$

Sendo  $\epsilon_1 = 2$  e  $\epsilon_2 = \frac{3}{2}$

$$E_1 = 2 E_0 \quad e \quad E_2 = \frac{3}{2} E_0$$

$$\therefore E_1 = \frac{5}{2 E_0} \quad e \quad E_2 = \frac{5}{3 E_0}$$

c) A polarização ser:  $\vec{P} = \chi_e \epsilon_0 \vec{E}$

Mas  $E = \epsilon_0 (1 + \chi_e) \Rightarrow k = 1 + \chi_e$

$$\therefore \vec{P} = (k - 1) \epsilon_0 \vec{E} \quad \therefore \quad \boxed{\vec{P}_1 = (\chi_e - 1) \frac{\epsilon_0 5}{2 E_0} \hat{j} = \frac{5}{2} \hat{j}}$$

$$P_2 = \left(\frac{3}{2} - 1\right) \frac{5}{3} \hat{j} \Rightarrow \boxed{\vec{P}_2 = \frac{5}{3} \hat{j}}$$

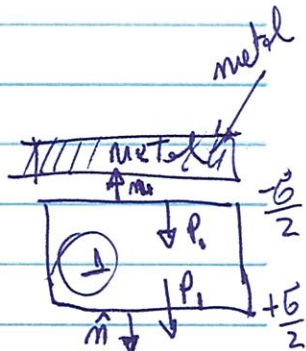
d)  $V = E_1 a + E_2 a = \frac{5a}{\epsilon_0} \left( \frac{1}{2} + \frac{2}{3} \right) = \frac{5a}{\epsilon_0} \frac{7}{6}$

e)  $P_b = 0$ ; Homogêneo!  $P = \text{cte}$ !  $\therefore \nabla \cdot \vec{P} = 0$

$$\zeta = \vec{P} \cdot \hat{m}$$

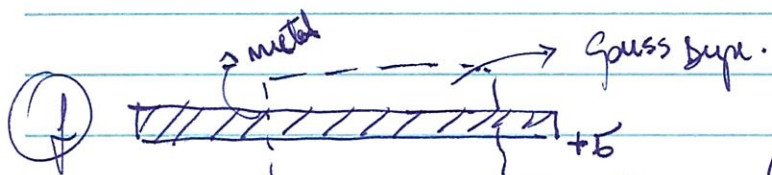
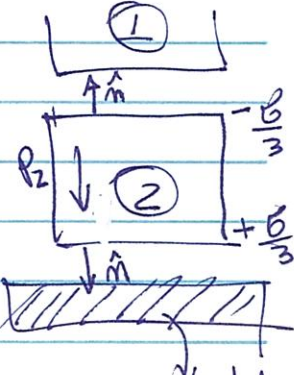
$\zeta_b = +\frac{5}{2}\hat{y} \cdot (-\hat{y}) = -\frac{5}{2}$  (parte superior)

Distribuição ①  $\zeta_b = +\frac{5}{2}\hat{y} \cdot (+\hat{y}) = +\frac{5}{2}$  (parte inferior)



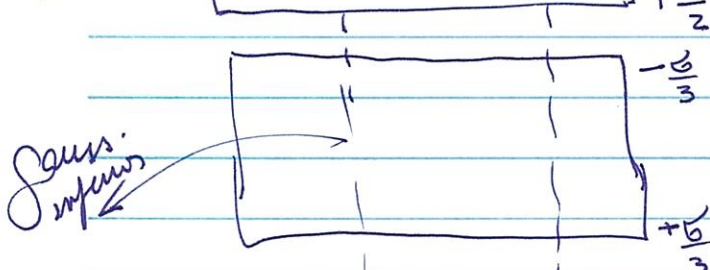
Distribuição ②  $\zeta_b = +\frac{5}{3}\hat{y} \cdot (-\hat{y}) = -\frac{5}{3}$  (superior)

$$\zeta_b = +\frac{5}{3}\hat{y} \cdot (+\hat{y}) = +\frac{5}{3}$$
 (inferior)

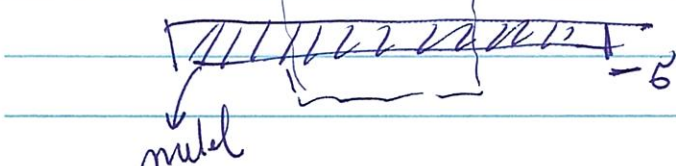


$$Q_{\text{Gauss Superf}} = +5 - \frac{5}{2} = +\frac{5}{2}$$

$$Q_{\text{Gauss Inf}} = +\frac{5}{2} - \frac{5}{3} + \frac{5}{3} - 5 = -\frac{5}{2}$$



$$\therefore A \cdot \vec{E}_{(1)} = \frac{QA}{\epsilon_0} = \frac{5}{2\epsilon_0}$$



$$\vec{E}_{(1)} = \frac{5}{2\epsilon_0} \hat{y}$$

$\Rightarrow$  ATENÇÃO! Você chega a mesma conclusão usando o Princípio da Símposição!

De forma equivalente na regra ②

$$\text{Gauss sup} \Rightarrow \frac{5}{3} - \frac{5}{3} = +\frac{25}{3}$$

$$\text{Gauss inf} \Rightarrow \frac{5}{3} - 5 = -\frac{25}{3},$$

$$\boxed{\vec{E} = \frac{25}{3\epsilon_0} \hat{j}}$$

### O Problema do valor da Fronteira em Díelétricos Líquidos

No díelétrico líquido, sabemos que  $\rho_b$  é proporcional

às cargas livres ou nulas, à densidade de cargas livres

$$\rho_b = -\nabla \cdot \vec{P} = -\nabla \cdot (\underbrace{\chi_e \epsilon_0 \vec{E}}_{\vec{P}}) = -\nabla \cdot \left( \frac{\chi_e \epsilon_0 \vec{D}}{\epsilon} \right)$$

$$\vec{D} = \epsilon \vec{E} \quad \epsilon = \epsilon_0 (1 + \chi_e)$$

$$\rho_b = -\nabla \cdot \left( \frac{\chi_e}{1 + \chi_e} \vec{D} \right) = -\frac{\chi_e}{1 + \chi_e} \nabla \cdot \vec{D}$$

" $P_f$

$$\boxed{\rho_b = -\frac{\chi_e}{1 + \chi_e} P_f}$$

Se now tem cargas livres dentro do dieletrico

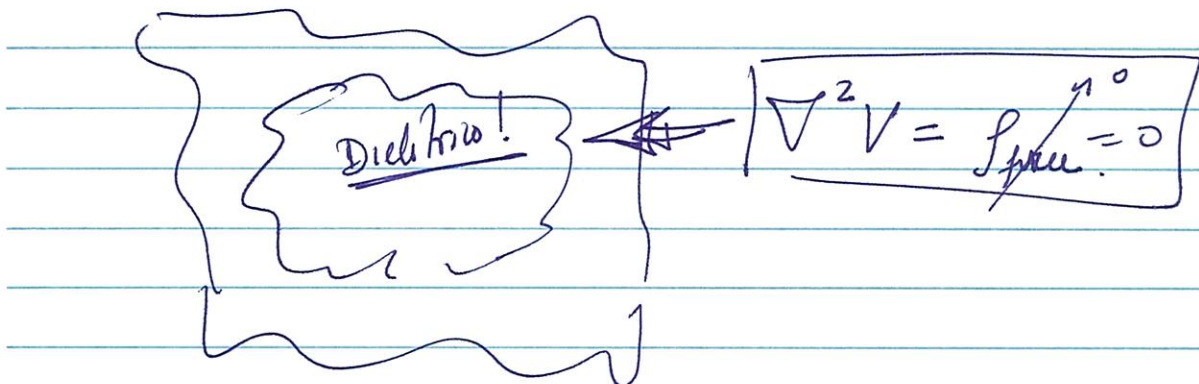
entao

$$\boxed{\rho_b = 0}$$

o que é razoável!

Vimos o proprio exemplo anterior que isto  
não vale p/  $\epsilon_b \neq 1$ !

Desta forma, outro do dieletrico o potencial obedece  
à equação de depois



Podemos usar esta forma os métodos de solução  
do Capítulo 3

Somando  $\nu$ -escrevendo as equações de contorno

$$\boxed{E_{\text{externo}} E_{\text{externo}}^\perp - E_{\text{externo}} E_{\text{externo}}^\perp = \sigma_f}$$

$$\boxed{D_{\text{externo}}^\perp - D_{\text{externo}}^\perp = \sigma_f}$$

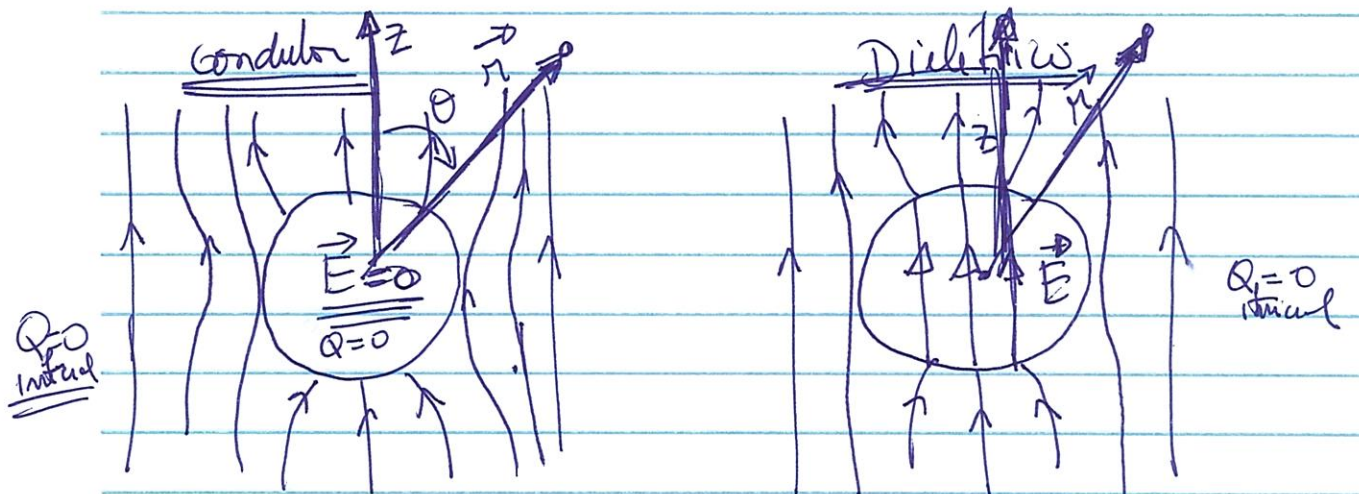
$$E_{\text{ext}} \frac{\partial V_{\text{ext}}}{\partial n} - E_{\text{int}} \frac{\partial V_{\text{int}}}{\partial n} = -E_f$$

Onde  $V_{\text{ext}} = V_{\text{int}}$  (Potencial é contínuo!)

Ex. 4.7

Esfere dielétrica no campo elétrico externo.  $\vec{E}_0$

Encontrar o campo dentro da esfera dielétrica



$$V_{\text{in}}(r, \theta) \quad \text{p/ } r \leq R \quad \text{e} \quad V_{\text{out}}(\eta, \theta) \quad \text{p/ } r > R$$

$$(i) \quad V_{\text{in}} = V_{\text{out}} \quad \text{p/ } r = R$$

$$(ii) \quad \epsilon \frac{\partial V_{\text{in}}}{\partial r} = \epsilon_0 \frac{\partial V_{\text{out}}}{\partial r} \quad \text{p/ } r = R \quad \text{não tem cargo livre!}$$

$$(iii) \quad V_{\text{out}} \rightarrow -E_0 r \cos \theta \quad \leftarrow \vec{E}_0 = -\frac{\partial V}{\partial r} \quad \begin{array}{l} (\text{longo}) \\ (\text{dilétrico}) \end{array}$$

$$\therefore V_{\text{in}}(r, \theta) = \sum_{l=0}^{\infty} A_l r^l P_l(\cos \theta)$$

$$\text{p/ } r \rightarrow \infty \quad \frac{1}{r^{l+1}} \rightarrow 0 \quad r \rightarrow 0$$

Usando (iii)

$$V_{\text{out}}(r, \theta) = -E_0 r \cos \theta + \sum_{l=0}^{\infty} \frac{B_l}{r^{l+1}} P_l(\cos \theta)$$

Termino y/  
satisfacer  $\xrightarrow{R \rightarrow \infty}$

Aplicando (i) (condic de cont. na superficie).

$$\sum_{l=0}^{\infty} A_l R^l P_l(\cos \theta) = -E_0 R \cos \theta + \sum_{l=0}^{\infty} \frac{B_l}{R^{l+1}} P_l(\cos \theta).$$

Demovendo que  $P_1(\cos \theta) = \cos \theta$

$$\left. \begin{array}{l} A_l R^l = \frac{B_l}{R^{l+1}} \\ A_1 R = -E_0 R + \frac{B_1}{R^2} \end{array} \right\} l \neq 1$$

Usando (ii) (Derivada!)

$$\kappa = \left( \frac{E}{E_0} \right) \sum_{l=0}^{\infty} l A_l R^{l-1} P_l(\cos \theta) = -E_0 \cos \theta - \sum_{l=0}^{\infty} \frac{(l+1) B_l}{R^{l+2}} P_l(\cos \theta)$$

$$\left. \begin{array}{l} \kappa l A_l R^{l-1} = -\frac{(l+1) B_l}{R^{l+2}} \\ \text{tudo } l \neq 1 \end{array} \right\}$$

$$\kappa A_1 R^0 = -E_0 - \frac{2 B_1}{R^3}$$

Resolvendo os dois sistemas p/  $\ell \neq 1$

$$A_\ell = \frac{B_\ell}{R^{\ell+1}} \text{ de } \textcircled{I}$$

$$\hookrightarrow \therefore \frac{K\ell B_\ell}{R^{\ell+2}} + \frac{(\ell+1) B_\ell}{R^{\ell+2}} = 0 \quad \textcircled{II}$$

$$B_\ell \left( \frac{K\ell + \ell + 1}{R^{\ell+2}} \right) = 0 \quad \text{como } K > 0 \text{ então,}$$

$$\boxed{B_\ell = 0} \Rightarrow \boxed{A_\ell = 0}$$

p/  $\ell = 1$

$$A_1 = -E_0 + \frac{B_1}{R^3} \quad \textcircled{I}$$

$$\hookrightarrow -KE_0 + \frac{KB_1}{R^3} = -E_0 - \frac{QB_1}{R^3} \quad \textcircled{II}$$

$$\frac{(Q+K)B_1}{R^3} = (K-1)E_0 \Rightarrow B_1 = \frac{(K-1)}{(K+2)} R^3 E_0$$

$$\boxed{E_{in} = \frac{3}{K+2} E_0} \quad \text{cte} \quad \text{!!!}$$

$$A_1 = -\frac{3E_0}{(K+2)}$$

$$\therefore \boxed{\text{Im}(H, \theta) = -\frac{3E_0}{K+2} n \cos \theta = \frac{-3E_0}{K+2} z}$$